

*Brevibacterium lactofermentum*에서 *meso*-Diaminopimelate-dehydrogenase Gene(*ddh*)의 Site-specific Inactivation

김옥미 · 박선희 · 이갑랑*
영남대학교 식품영양학과

Site-specific Inactivation of *meso*-Diaminopimelate-dehydrogenase Gene(*ddh*) in a Lysine-producing *Brevibacterium lactofermentum*. Kim, Ok-Mi, Sun-Hee Park, and Kap-Rang Lee*. Department of Food and Nutrition, Yeungnam University, Gyeongsan 712-749, Korea – *Brevibacterium lactofermentum*, a gram-positive bacteria, has both the diaminopimelate (DAP) pathway and *meso*-DAP-dehydrogenase (DDH) pathway for L-lysine biosynthesis. To investigate importance of DDH pathway and the related *ddh* gene in lysine production, we introduced site-specific mutagenesis technique. A 300 bp DNA fragment central to the *meso*-DAP-dehydrogenase gene (*ddh*) of *B. lactofermentum* was used to inactive chromosomal *ddh* gene via homologous recombination. Southern hybridization analysis confirmed that the chromosomal *ddh* gene was disrupted by the vector sequence. The *B. lactofermentum* *ddh* mutant obtained have an inactive DDH pathway. The results reveal that inactivation of the *ddh* gene in *B. lactofermentum* leads to dramatic reduction of lysine production as well as decrease of the growth rate, indicating that the DDH pathway is essential for high-level lysine production as well as biosynthesis of *meso*-DAP.

Key words: *Brevibacterium lactofermentum*, *ddh* gene, site-specific inactivation

원핵생물계에서의 L-lysine 생합성은 3가지 서로 다른 경로를 통하여 일어난다[19]. Fig. 1에서 보는 바와 같이 acetyl화 된 중간 대사물[23] 및 succinyl화 된 중간 대사물[3, 9]을 각각 거쳐 lysine을 생합성하는 2가지 다른 diaminopimelate(DAP) 경로는 중간 물질인 tetrahydrodipicolinate(THDPA)로부터 *meso*-DAP로의 전환에 4단계 효소반응을 요구하지만 *meso*-DAP-dehydrogenase(DDH)경로[25]는 THDPA로부터 한 단계 효소반응을 거쳐 *meso*-DAP를 생산하며 이때 *meso*-DAP-dehydrogenase gene(*ddh*)이 관여하는 것으로 알려져 있다. 이 중 DDH 경로는 DAP 경로에 비하여 acetyl-coA와 succinyl-coA를 필요로 하지 않으며, 4단계의 효소 반응을 줄여주므로 많은 이점과 중요성을 가질 것으로 추정된다.

일반적으로 대부분의 미생물들은 이러한 생합성 경로들 중 단지 한가지 경로를 통하여 lysine을 생합성하는 것으로 알려져 있다[19]. *Escherichia coli*를 비롯하여 많은 미생물들은 succinyl화 된 중간 대사물을 이용하는 DAP 경로로 lysine을 생합성하며[13], DDH 경로를 통하여 lysine을 생합성하는 대표적인 균주는 *Bacillus sphaericus*이다[25]. 그러나 lysine 생산 균주인 *Corynebacterium glutamicum*에서는 DAP 경로 뿐만 아니라

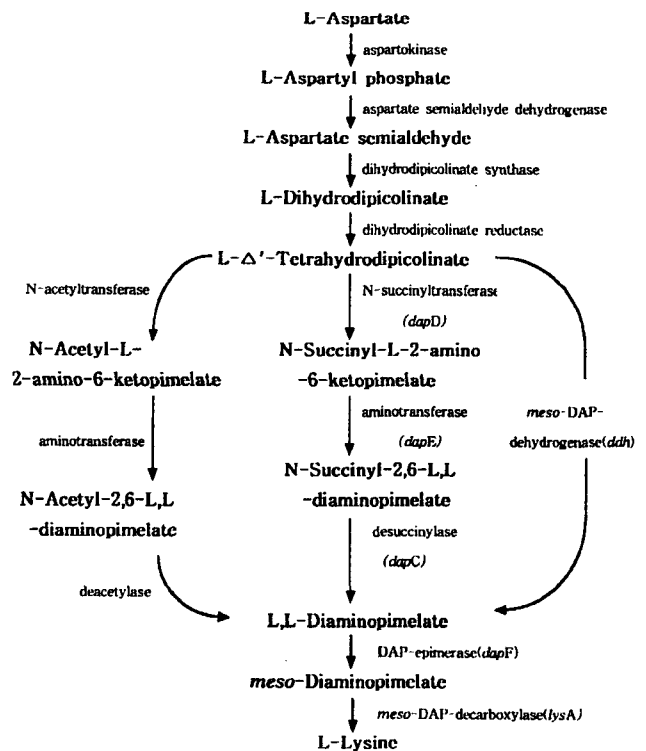


Fig. 1. Biosynthetic pathway of L-lysine in procaryotes. The acetylated intermediates (left) and succinylated intermediates (center) of the diaminopimelate (DAP) pathway and *meso*-DAP-dehydrogenase (DDH) pathway (right) are utilized for biosynthesis of lysine in procaryotes.

*Corresponding author
Tel. 82-53-810-2871, Fax. 82-53-811-8111
E-mail: Krllee@ynucc.yeungnam.ac.kr

DDH 경로가 함께 작용하여 lysine을 생합성하며[5, 7, 11] 산업적으로 lysine 발효산업에 널리 이용되고 있다[12]. 그러므로 lysine 생산 균주에 부가적으로 존재하는 DDH 경로는 lysine 생산의 높은 수율을 얻는데 기여할 것으로 사료된다.

*C. glutamicum*과 더불어 lysine 발효산업에 유용한 *B. lactofermentum*에서의 lysine 생합성은 DAP 경로를 통하여 일어난다고 알려져 있었으나[1, 24], 본 연구자 등은 DAP 경로 외에도 DDH 경로가 함께 작용한다는 것을 밝혔으며 아울러 *B. lactofermentum*으로부터 DDH 경로에 관여하는 *ddh* gene을 *E. coli dapD* 결손 변이주와의 complementation test를 통해 cloning하였다[15]. 또한 *ddh* gene의 coding region은 320개의 아미노산을 암호화하는 960 bp로 구성되어 있다는 것을 보고한 바 있다[8].

그러므로 본 연구에서는 *B. lactofermentum*의 lysine 생합성에 있어서 DDH 경로 및 *ddh* gene이 지닌 중요성을 조사하기 위하여, *ddh* gene을 disruption하여 DDH 경로를 차단시킴으로써 *B. lactofermentum ddh* mutant의 특성 및 lysine 생산량에 미치는 영향 등을 조사하였다.

재료 및 방법

사용균주 및 Plasmids

B. lactofermentum KCTC1844는 chromosomal DNA donor 균주로 사용하였고, *B. lactofermentum* KCTC1846[17]은 S-2-aminoethyl-L-cysteine(AEC) 내성변이주로 이용하였다. *E. coli* S17-1[19, 20]은 mobilizing donor 균주로 사용하였으며, *E. coli* JM109는 plasmid DNA를 안정하게 보관시키는 균주로 사용하였다.

Plasmid pXX14는 이전의 논문[8, 15]에서 보고한 대로 *ddh* gene을 함유한 재조합 plasmid이며 pEM1은 mating 실험을 위한 재조합 plasmid pED15의 제조에 사용하였다. 본 실험에 사용한 균주 및 plasmids의 특성은 Table 1과 같다.

배지 및 배양 조건

실험에 사용한 모든 균주 배양에는 LB(Luria-Bertani) 배지[16]를 사용하였으며, 필요에 따라 ampicillin(Ap), kanamycin(Km), 그리고 nalidixic acid(Nx)를 첨가하여 배양하였다. Lysine 정량을 위한 배지로는 완전 배지로서 CGIII배지를, 최소배지로서 CGX배지를 사용하였다[6]. 본 실험에 사용한 *B. lactofermentum* 및 *E. coli*는 호기적 조건하에서 각각 30°C와 37°C에서 배양하였다.

DNA 조작 및 Southern hybridization

*B. lactofermentum*의 chromosomal DNA는 Ausubel 등[2]의 방법에 따라 분리하였으며 plasmid DNA는

Table 1. Bacterial strains and plasmids used

Strain/plasmid	Genotype	Source
<i>B. lactofermentum</i>		
KCTC1844	Wild type Nx ^r	KCTC
KCTC1846	AEC ^r Nx ^r ser	KCTC, 17
KM1	KCTC1846 <i>ddh</i> ::pED15 Nx ^r Km ^r	This work
<i>E. coli</i>		
S17-1	mobilizing donor strain <i>hsdR recA tra</i> from RP4 derivative integrated in the chromosome	20
JM109	<i>recA1 supE44 endA1 hsdR17</i> <i>gyrA96 relA1 thiΔ(lac-proAB)F</i> [<i>traD36 proA⁺ proB⁺ lacI^q</i> <i>lacZΔM15</i>]	Promega
plasmid		
pXX14	Ap ^r <i>ddh</i> ⁺	8, 15
pEM1	Km ^r oriV _{<i>E. coli</i>} pK19::oriT _{RP4}	19
pED15	Km ^r pEM1::internal <i>ddh</i> fragment	This work

Abbreviations : AEC, S-2-aminoethyl-L-cysteine ; Nx, nalidixic acid; Km, kanamycin; Ap, ampicillin; Tc, tetracycline; KCTC, Korean Collection for Type Cultures.

Sambrook 등[16]의 alkaline lysis 방법에 따라 추출되었다. 제한효소 절단 및 ligation 반응은 Sambrook 등[16]의 방법에 준하여 수행하였으며 subcloning을 위한 제한단편은 투석막을 이용하여 agarose gel상에서 분리되었다.

Southern hybridization은 Southern[22]의 방법에 준하여 수행하였으며 probe DNA는 oligolabelling kit(Pharmacia)에 의해 [α -³²P]dCTP로 표지하여 사용하였다.

Transconjugation

B. lactofermentum KCTC1846과 *E. coli* S17-1의 mating 실험은 Schafer 등[18]의 방법에 따라 수행하였다. *ddh* gene의 300 bp *Bam*HI-*Hind*III 단편만을 함유하고 있는 pED15를 mobilizing 균주인 *E. coli* S17-1로 도입시켜 이를 donor 세포로, *B. lactofermentum* KCTC1846은 recipient 세포로 사용하였다. Donor-recipient 세포의 혼합비율은 1:5로 하였으며 48.5°C에서 열처리 하였다. *B. lactofermentum* transconjugants는 Km(25 μ g/ml)과 Nx(30 μ g/ml)를 함유한 LB배지에서 selection되었다.

meso-DAP-dehydrogenase(DDH) 활성측정

DDH 활성측정은 Yeh 등[26]이 사용한 방법에 의해 행하였다. 배양된 균체를 0.2 M glycine-KCl-KOH buffer (pH 10.5)에 현탁하여 세포를 파괴한 후 원심분리하여 상층액을 crude extract로 사용하였다. 효소활성은 기질로 10 mM diaminopimelic acid를 사용하였고 조효소로

서 0.1 mM NADP⁺가 포함된 0.2 M glycine-KCl-KOH buffer에 crude extract를 첨가하여 마지막 부피를 1 ml로 맞춘다음, 37°C에서 30분간 반응시킨 후 340 nm에서 환원된 NADPH의 양을 측정하였다. 1 unit는 1분당 1 μmole NADPH의 형성을 촉매하는 효소 양으로 표시하였으며 비활성은 단백질 mg당 units로 표시하였다. 단백질 정량은 Lowry 등[10]의 방법에 따라 750 nm에서 흡광도로 측정하였으며 bovine serum albumin(0.3 mg/ml)을 standard로 사용하였다.

L-Lysine 정량

Cremer 등[6]의 방법에 따라 항생제가 첨가된 CGIII배지에서 배양시킨 균체를 원심분리하여 모우고 0.9% NaCl로 2회 세척하여 각 sample의 OD₆₀₀ 값을 동일하게 하여 CGX배지로 재접종하여 72시간 배양하였다. Lysine 정량은 배양액을 원심분리하여 얻은 상층액을 0.45 μm membrane filter로 filtration한 후, amino acid analyzer(Biochrome 20, Pharmacia)와 HPLC(Waters)로 분석하였다.

결과 및 고찰

B. lactofermentum *ddh* gene의 disruption

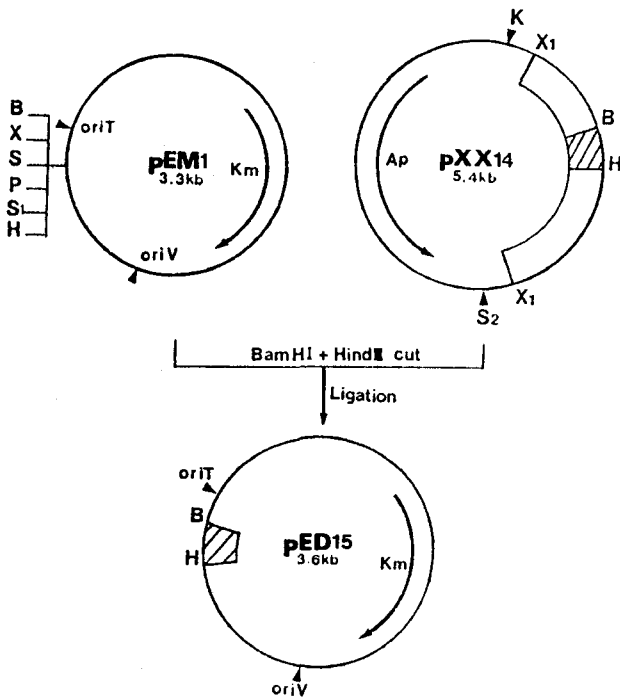


Fig. 2. Construction of the pED15 used for *ddh* gene disruption. The 300 bp *Bam*HI-*Hind*III fragment of pXX14 located within the coding region of the *ddh* gene was inserted in the pEM1 vector. B, *Bam*HI; H, *Hind*III; K, *Kpn*I; P, *Pst*I; S, *Sal*I; S₁, *Sph*I; S₂, *Sac*I; X, *Xba*I; X₁, *Xho*I.

*B. lactofermentum*에서 DDH 경로에 관여하는 *ddh* gene을 disruption하기 위하여, pXX14로부터 *ddh* gene의 coding region 일부인 300 bp 단편을 *Bam*HI과 *Hind*III로 처리하여 분리한 후 같은 효소로 처리한 pEM1 vector에 subcloning하여 재조합 pED15를 제조하였다 (Fig. 2). Vector로 사용한 pEM1은 pK19[14]에서 유래된 multiple cloning site와 Tn5의 Km^r gene을 함유하고 있으며 특히 *E. coli*의 복제 origin만 가지고 있기 때문에 *B. lactofermentum*에서는 복제되지 못하고 chromosome 속으로 삽입되는 특성을 지니고 있다. 이렇게 제조된 pED15를 *E. coli* S17-1로 도입시킨 후 *B. lactofermentum* KCTC1846과 mating 실험을 수행하였다. 이 과정에서 pED15는 *E. coli* S17-1로부터 conjugation에 의해 *B. lactofermentum* KCTC1846으로 전이되며 그 후 pED15내의 300 bp *Bam*HI-*Hind*III 단편이 *B. lactofermentum*의 chromosomal *ddh* locus에 recombination이 일어나 삽입된다(Fig.3). Transconjugant는 Km (25 μg/ml)와 Nx(30 μg/ml)을 함유한 LB배지에서 selection되었으며, 선별된 7개의 transconjugants로부터 plasmid DNA의 존재 및 DDH 효소활성이 전혀 관찰되지 않았다(Table 2). 이들 transconjugants중에서 하나를 선택하여 KM1이라 명명하였다.

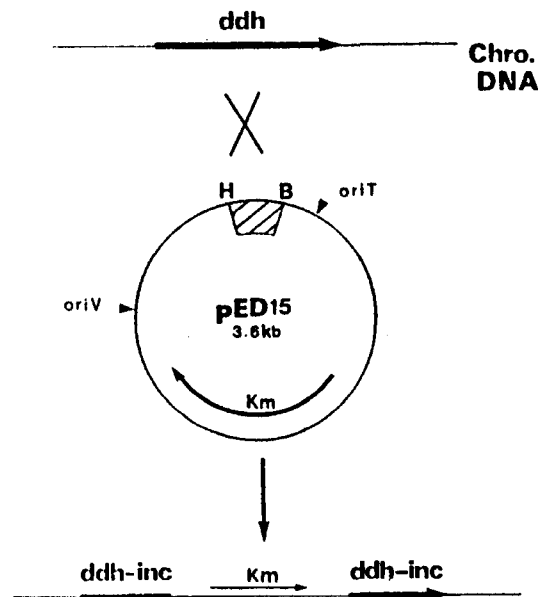


Fig. 3. Schematic illustration of the recombination event leading to site-specific disruption of the *B. lactofermentum* *ddh* gene. Single crossover between the 300 bp fragment of *ddh* gene on the nonreplicative plasmid pED15 and chromosomal *ddh* locus disrupted the *ddh* gene by plasmid integration and conferred resistance against kanamycin. Chro. DNA, chromosomal DNA; ddh-inc, *ddh*-incomplete.

Table 2. DDH activity, growth rate, and amount of lysine secreted by the strains of *B. lactofermentum*

strain	DDH sp. act. (U/mg)	Growth rate (h ⁻¹)		Lysine (mM) ^b
		CGIII	CGX	
<i>B. lactofermentum</i> 1844	0.09	0.47	0.56	6
<i>B. lactofermentum</i> 1846 ^a	0.15	0.48	0.57	20
<i>B. lactofermentum</i> KM1	0.00	0.36	0.29	0.25

^aStrain 1846 is a mutant with feedback-resistant aspartate kinase.

^bLysine was determined in supernatants after cells were cultivated on CGX media for 72 hrs.

Southern hybridization

B. lactofermentum KM1의 chromosome에 *ddh* gene이 disruption되었는지 여부를 확인하기 위하여 Southern hybridization을 수행하였다. AEC 내성균주인 *B. lactofermentum* KCTC1846과 *ddh* 유전자가 disruption된 *B. lactofermentum* KM1의 chromosomal DNA를 분리하여 제한효소 *Xho*I으로 절단시킨 후 α -³²P로 label된 pXX14의 2.4 kb *Xho*I 단편을 probe로 하여 hybridization하였다. 그 결과 Fig. 4에서 보는 것처럼 *B. lac-*

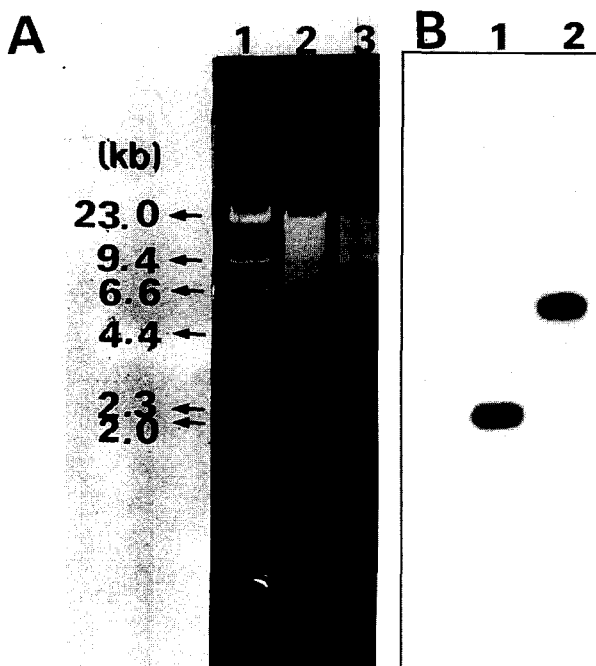


Fig. 4. Southern hybridization analysis of the constructed mutant.

Chromosomal DNAs isolated from *B. lactofermentum* KCTC 1846 and the mutant KM1 were digested with *Xho*I, subjected to agarose gel electrophoresis, transferred to nylon membrane and hybridized with a labeled 2.4 kb *Xho*I fragment of pXX14. A. Agarose gel electrophoresis; lane 1. λ DNA digested with *Hind* III, lane 2. *B. lactofermentum* KCTC1846 chromosomal DNA digested with *Xho*I, lane 3. *B. lactofermentum* KM1 chromosomal DNA digested with *Xho*I. B. Autoradiogram.

tofermentum KCTC 1846에서는 약 2.4 kb위치에서, *B. lactofermentum* KM1에서는 약 6.0 kb위치에 각각 하나의 band가 관찰되었다. 이러한 결과는 *B. lactofermentum* chromosome내의 *ddh* locus에 pED15(3.6 kb)가 삽입되어 *ddh* gene이 disruption됨으로서 6.0 kb의 band가 관찰됨을 보여주는 것이다.

B. lactofermentum *ddh* mutant의 특성

ddh gene이 disruption되어 DDH 경로가 차단된 *B. lactofermentum* KM1의 특성을 조사하기 위하여 먼저 wild type인 *B. lactofermentum* KCTC 1844, AEC 내성 균주인 KCTC1846, 그리고 KM1을 완전배지인 CGIII와 최소배지인 CGX에서 배양하여 OD₆₀₀에서 균수를 측정하여 성장을 비교 분석하였다. 그 결과 *B. lactofermentum*의 KCTC1844와 KCTC1846의 성장에 비해 mutant인 KM1은 성장이 저조하였다. 이는 아마도 DDH 경로의 불활성화로 인해 세포벽 합성에 필수적인 *meso*-DAP와 세포의 성장에 필요한 lysine양의 공급이 부족하기 때문에 이러한 결과가 초래되었다고 사료된다(Table. 2). 이 결과를 뒷받침하기 위해 이들의 lysine 생산량을 측정하였을 때에도 현저한 차이를 나타내었다. *B. lactofermentum* KM1에서의 lysine 생산량은 모균주인 *B. lactofermentum* KCTC1846에 비해 80% 이상 감소하였다. 이와 같이 *B. lactofermentum*이 DAP 경로만을 가졌을 때 세포의 성장 및 lysine 생산량에 있어서 극적인 저하를 가져오는 결과는 DDH 경로가 *meso*-DAP 및 lysine 생합성에 있어 필수불가결한 경로라는 것을 확인해 주는 것이다.

그러나 *C. glutamicum*에서 DDH 경로를 gene-directed mutagenesis 방법으로 차단시킨 Schrumpt 등[19]의 보고에 따르면, 변이주들이 여전히 wild type과 비슷한 성장을 유지하는 것으로 보아 *C. glutamicum*에서의 DDH 경로는 세포의 생육을 위한 *meso*-DAP 및 lysine 생합성에 필수적인 경로로 작용하지 않는다고 보고하였다. 그렇지만 DDH 경로의 불활성화로 인한 DAP 경로만의 작용은 대사 중간 물질인 N-succinyl-diaminopimelate의 축적과 동시에 50% 이상 lysine 생산의 감소를 초래하므로 이러한 DDH 경로는 metabolic flux가 증가되면 중간 대사물을 lysine으로 변화시키는데 필요조건으로 작용한다고 보고하였다.

그러므로 *C. glutamicum*과 *B. lactofermentum*과 같은 corynebacteria가 lysine을 많이 생산하는 것은 DDH 경로가 부가적으로 존재하기 때문일 것으로 사료되며, 본 연구자 등은 *B. lactofermentum*에서 *meso*-DAP 및 lysine 생합성을 위하여 필수적으로 작용하는 DDH 경로를 재확인하기 위하여 DAP 경로에 관여하는 *dapD* gene을 cloning하였으며 지금 *dapD* gene을 이용하여 DAP 경로

를 차단시키는 실험을 수행 중에 있다.

요 약

*B. lactofermentum*의 lysine 생합성에 있어서 DDH 경로 및 *ddh* gene이 지닌 중요성을 조사하기 위하여, site-specific mutagenesis technique를 통하여 *B. lactofermentum*의 *ddh* gene을 disruption함으로써 DDH 경로를 차단시켰다. *B. lactofermentum* *ddh* mutant는 wild type 및 AEC내성 균주보다 성장이 매우 저조하였으며 lysine 생산량에서도 급격한 저하를 가져왔다. 이와 같이 *B. lactofermentum*이 DAP 경로만을 가졌을 때 세포의 성장 및 lysine 생산량에 있어서 극적인 저하를 가져왔기 때문에 *B. lactofermentum*에서의 DDH 경로는 *meso*-DAP 및 lysine 생합성에 있어 필수적인 경로로 작용한다는 것을 확인하였다. 그러므로 *C. glutamicum*과 *B. lactofermentum*과 같은 corynebacteria가 lysine을 많이 생산하는 것은 DDH 경로가 부가적으로 존재하기 때문이며, 이러한 DDH 경로는 metabolic flux가 증가되면 중간 대사물을 lysine으로 변화시키는 중요한 경로로 작용할 것이라 사료된다.

감사의 글

본 연구는 농림부에서 지원하는 농림기술관리센터의 농림수산특정연구과제의 연구비지원으로 수행된 연구결과의 일부이며 이에 감사드립니다.

REFERENCES

- Aida, K., I. Chibata, K. Nakayama, K. Takinami, and H. Yamada. 1986. *Biotechnology of Amino Acid Production*, pp. 152-172. Kodansha Ltd., Japan.
- Ausubel, F. M., R. Brent, R. E. Kingston, D. D. Moore, J. G. Seidman, J. A. Smith, and K. Struhl. 1987. Preparation of genomic DNA from bacteria, 2.4.3-2.4.5. *Current Protocols in Molecular Biology*. John Wiley & Sons, Inc.
- Berges, D. A., W. E. Dewolf, G. L. Dunn, D. J. Newman, S. J. Schmidt, J. J. Taggart, and C. Gilvarg. 1996. Studies on the active site of succinyl-CoA: Tetrahydrodipicolinate N-succinyl-transferase. *J. Biol. Chem.* **261**: 6160-6167.
- Bolivar, F., R. L. Rodriguez, P. J. Greene, M. V. Betlach, H. L. Heynecker, H. W. Boyer, J. H. Crosa, and S. Falkow. 1977. Construction and characterization of new cloning vehicles. II. A multipurpose cloning system. *Gene* **2**: 95-113.
- Cremer, J., C. Treptow, L. Eggeling, and H. Sahm. 1988. Regulation of enzyme of lysine biosynthesis in *Corynebacterium glutamicum*. *J. Gen. Microbiol.* **134**: 3221-3229.
- Cremer, J., L. Eggeling, and H. Sahm. 1991. Control of the lysine biosynthesis sequence in *Corynebacterium glutamicum* as analyzed by overexpression of the individual corresponding genes. *Appl. Environ. Microbiol.* **57**: 1746-1752.
- Ishino, S., K. Yamaguchi, K. Shirahata, and K. Araki. 1984. Involvement of *meso*- α , ϵ -diaminopimelate D-dehydrogenase in lysine biosynthesis in *Corynebacterium glutamicum*. *Agric. Biol. Chem.* **48**: 2557-2560.
- Kim, O. M., H. J. Kim, S. D. Kim, D. C. Park, and K. R. Lee. 1995. Cloning and sequencing of the *ddh* gene involved in the novel pathway of lysine biosynthesis from *Brevibacterium lactofermentum*. *J. Microbiol. Biotechnol.* **5**: 250-256.
- Kindler, S. H. and C. Gilvarg. 1960. N-succinyl-L- α , ϵ -diaminopimelate acid deacylase. *J. Biol. Chem.* **235**: 3532-3535.
- Lowry, O. H., N. J. Rosebrough, A. L. Farr, and R. J. Randall. 1951. Protein measurement with the folin phenol reagent. *J. Biol. Chem.* **193**: 265-275.
- Misono, H., M. Ogasawara, and S. Nagasaki. 1986. Characterization of *meso*-diaminopimelate dehydrogenase from *Corynebacterium glutamicum* and its distribution in bacteria. *Agric. Biol. Chem.* **50**: 2729-2734.
- Nakayama, K. 1985. Lysine, pp. 607-620. In M. Moo-Yonug (ed.), *Comprehensive Biotechnology*. Vol. 3. Pergamon press, Oxford.
- Patte, J. C. 1983. pp. 213-218. In K. M. Herrmann and R. L. Somerville (eds.), *Amino acid: Biosynthesis and Genetic Regulation*. Addison-Wesley Publishing Co., Massachusetts.
- Pridmore, R. D. 1987. New and versatile cloning vectors with kanamycin-resistance marker. *Gene* **56**: 309-312.
- Roh, J. H., O. M. Kim, D. C. Park, H. J. Kim, H. K. Yun, S. D. Kim, I. S. Lee, and K. R. Lee. 1994. Cloning and functional expression of the *ddh* gene involved in the novel pathway of lysine biosynthesis from *Brevibacterium lactofermentum*. *Mol. Cells* **4**: 295-299.
- Sambrook, J., E. T. Fritsh, and T. Maniatis. 1989. *Molecular Cloning: A Laboratory Manual*. 2nd ed. Cold Spring Harbor Laboratory, Cold Spring Harbor, New York.
- Santamaria, R. I., J. A. Gil, and J. H. Martin. 1985. High-frequency transformation of *Brevibacterium lactofermentum* protoplasts by plasmid DNA. *J. Bacteriol.* **162**: 463-467.
- Schafer, A., J. Kalinowski, R. Simon, A. H. Seep-Feldhaus, and A. Puhler. 1990. High-frequency conjugal plasmid transfer from gram-negative *Escherichia coli* to various gram-positive coryneform bacteria. *J. Bacteriol.* **172**: 1663-1666.
- Schrumpf, B., A. Schwarzer, J. Kalinowski, A. Puhler, L. Eggeling, and H. Sahm. 1991. A functionally split pathway for lysine synthesis in *Corynebacterium glutamicum*. *J. Bacteriol.* **173**: 4510-4516.
- Schwarzer, A. and A. Puhler. 1991. Manipulation of *Corynebacterium glutamicum* by gene disruption and re-

- placement. *Bio/Technology* **9**: 84–87.
21. Simon, R., V. Prierer, and A. Puhler. 1983. A broad host range mobilization system for *in vivo* genetic engineering: Transposon mutagenesis in gram negative bacteria. *Bio/Technology* **1**: 784–792.
 22. Southern, E. M. 1975. Detection of specific sequences among DNA fragments separated by gel electrophoresis. *J. Mol. Biol.* **98**: 503–517.
 23. Sundharadas, G. and C. Gilvarg. 1967. Biosynthesis of 2, 6-diaminopimelate acid in *Bacillus megaterium*. *J. Biol. Chem.* **242**: 3983–3988.
 24. Tosaka, O. and K. Takinami. 1978. Pathway and regulation of lysine biosynthesis in *Brevibacterium lactofermentum*. *Agric. Biol. Chem.* **42**: 95–100.
 25. White, P. J. 1983. The essential role of diaminopimelate dehydrogenase in the biosynthesis of lysine by *Bacillus sphaericus*. *J. Gen. Microbiol.* **129**: 739–749.
 26. Yeh, P., A. M. Sicard, and A. J. Sinskey. 1988. General organization of the genes specifically involved in the diaminopimelate-lysine biosynthetic pathway of *Corynebacterium glutamicum*. *Mol. Gen. Genet.* **215**: 105–111.

(Received May 26, 1998)